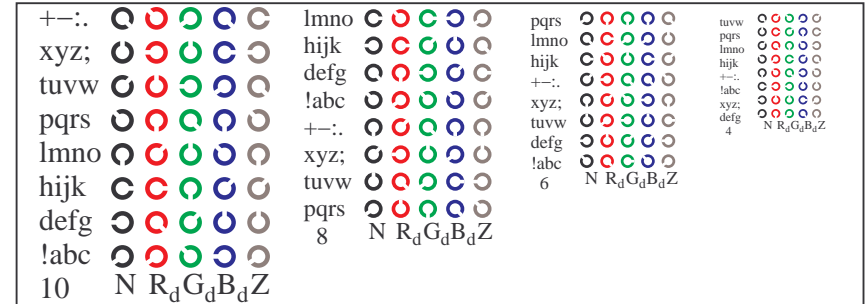
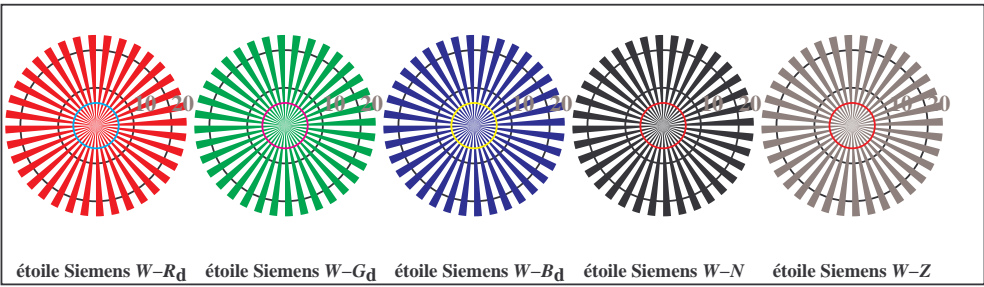


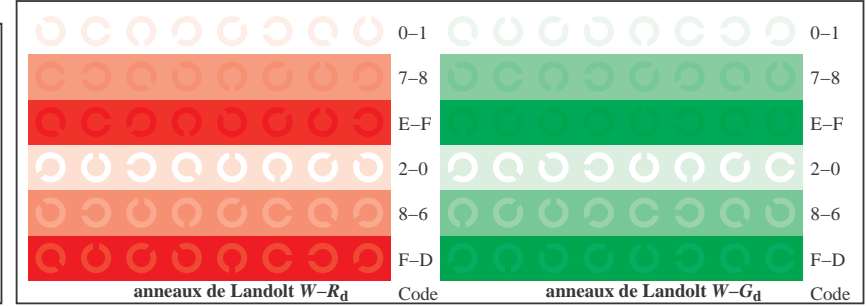
TF881-1, Fig. D4Wd: 16 paliers équadistants  $W-R_d$ ;  $W-G_d$ ;  $W-B_d$ ;  $W-N$ ;  $rgb/cmy_0 \rightarrow rgb_d$  setrgbcolor



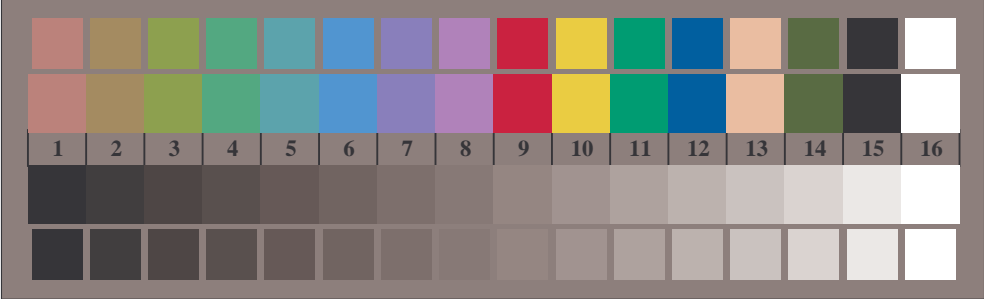
TF881-3, Fig. D5Wd: code et anneau de Landolt  $N$ ;  $R_d$ ;  $G_d$ ;  $B_d$ ;  $Z$ ; PS opérateur:  $rgb \rightarrow rgb_d$  setrgbcolor



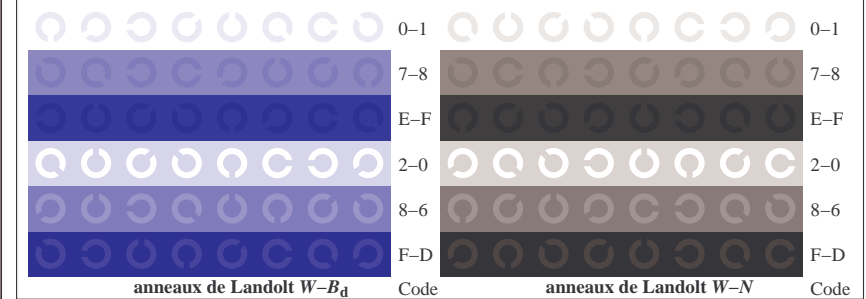
TF880-5, Fig. D2Wd: étoile de Siemens  $W-R_d$ ;  $W-G_d$ ;  $W-B_d$ ;  $W-N$ ; PS opérateur:  $rgb \rightarrow rgb_d$  setrgbcolor



TF881-5, Fig. D6Wd: anneaux de Landolt  $W-R_d$ ;  $W-G_d$ ; PS opérateur:  $rgb \rightarrow rgb_d$  setrgbcolor



TF880-7, Fig. D3Wd: 14 CIE test couleurs et 2 + 16 paliers de gris (sf); PS opérateur:  $rgb/cmy_0 \rightarrow rgb_d$  setrgbcolor



TF881-7, Fig. D7Wd: anneaux de Landolt  $W-B_d$ ;  $W-N$ ; PS opérateur:  $rgb \rightarrow rgb_d$  setrgbcolor